

- [12] Catalaa I, Henry R, Dillon WP, et al. Perfusion, diffusion and spectroscopy values in newly diagnosed cerebral gliomas. NMR Biomed, 2006, 19(4):463-475.
- [13] Lambin P, Rios-Velazquez E, Leijenaar R, et al. Radiomics: Extracting more information from medical images using advanced feature analysis. Eur J Cancer, 2012, 48(4):441-446.
- [14] Gillies RJ, Kinahan PE, Hricak H. Radiomics: Images are more than pictures, they are data. Radiology, 2016, 278(2):563-577.
- [15] Kang Y, Choi SH, Kim YJ, et al. Gliomas: Histogram analysis of apparent diffusion coefficient maps with standard- or high-b-value diffusion-weighted MR imaging-correlation with tumor grade. Radiology, 2011, 261(3):882-890.
- [16] Tian Q, Yan LF, Zhang X, et al. Radiomics strategy for glioma grading using texture features from multiparametric MRI. J Magn Reson Imaging, 2018, 48(6):1518-1528.
- [17] Zhang X, Yan LF, Hu YC, et al. Optimizing a machine learning based glioma grading system using multi-parametric MRI histogram and texture features. Oncotarget, 2017, 8(29):47816-47830.
- [18] Ditmer A, Zhang B, Shuaat T, et al. Diagnostic accuracy of MRI texture analysis for grading gliomas. J Neurooncol, 2018, 140(3):583-589.
- [19] Berenguer R, Pastor-Juan MDR, Canales-Vázquez J, et al. Radiomics of CT features may be nonreproducible and redundant: Influence of CT acquisition parameters. Radiology, 2018, 288(2):407-415.

Giant calculi in submandibular duct: Case report 颌下腺导管巨大结石1例

李春香*

[东部战区总医院(原第359医院)特诊科,江苏 镇江 212000]

[Keywords] calculi; submandibular duct; ultrasonography

[关键词] 结石; 颌下腺导管; 超声检查

DOI: 10.13929/j.1003-3289.201808081

[中图分类号] R653; R445 [文献标识码] B [文章编号] 1003-3289(2019)07-0980-01

患者男,31岁,因“左侧颌下肿胀不适1个月”入院。查体:左侧颌下腺肿大,质地略韧,轻度压痛,颌下腺导管口红肿,挤压颌下腺可见浓稠白色脓性分泌物。超声:左侧颌下腺略增大,约38.2 mm×18.9 mm,实质回声欠均匀,腺体内导管增宽,最大径约6.0 mm,管壁增厚;腺体内外导管交界处可见长弧形强回声,最大径约23.0 mm,后方伴声影(图1A);CDFI示腺体内血流信号增多。口腔锥形束CT:左侧下颌骨内下方见椭圆形高密度影,约20.5 mm×9.5 mm×8.5 mm(图1B)。超声及锥形束CT均诊断为左侧颌下腺导管结石伴炎性改变。给予抗炎治疗1周后患者症状缓解,但颌下腺肿胀未消退,遂行左侧颌下腺及导管结石摘除术。术中见颌下腺导管与腺体交界处膨大,可触及导管内结石,导管内可见脓性分泌物。

讨论 涎石病临床较为常见,但结石巨大者少见,结石可能以脱落细胞、异物、细菌或其分解产物为核心,由钙盐及有机盐沉积在核心周围而形成。本病好发于青壮年,男性患者多于女性;最常发生于颌下腺,腮腺次之。发生颌下腺结石的影响

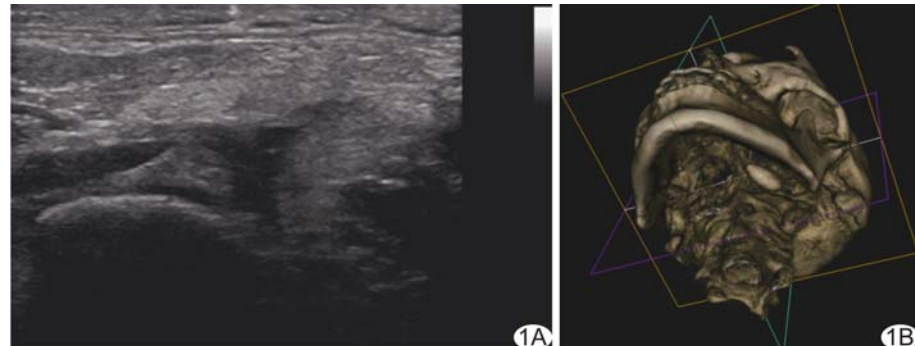


图1 颌下腺导管巨大结石 A. 二维声像图; B. 锥形束CT三维成像

因素包括:①导管自下而上走行;②导管长且管径较粗;③分泌液黏稠,流动性较差。颌下腺结石较小时,患者症状并不明显。本例结石巨大,阻塞导管影响唾液排出,从而导致颌下腺继发感染。超声诊断涎石病准确率高,对颌下腺导管结石患者,可沿扩张的导管追踪探查,较易扫查到强回声或高回声结石。本例结石最大径>20 mm,超声检查时易将其误认为骨性结构;通过锥形束CT可观察到结石为高密度影,但不能明确结石的具体位置、导管扩张及走行情况等;二者联合应用有利于为临床提供更可靠的参考信息。

[基金项目] 国家自然科学基金面上项目(81771848)。

[第一作者] 李春香(1980—),女,江苏泰州人,本科,副主任医师。

[通信作者] 李春香,东部战区总医院(原第359医院)特诊科,212000。E-mail: LCX201208A@163.com

[收稿日期] 2018-08-12 [修回日期] 2019-01-10